

فرایند تصفیه پساب سنتزی حاوی رنگزای AB14 به روش اکسایش الکتریکی در راکتور آزمایشگاهی و پایلوت

جلال بصیری پارسا^۱، هادی رضایی وحیدیان^۲، علیرضا سلیمانی^۳

۱- استاد شیمی فیزیک، دانشکده شیمی، دانشگاه بولوی سینا، همدان

۲- دانشجوی دکترا شیمی کاربردی، دانشکده شیمی و مهندسی شیمی، دانشگاه صنعتی مالک اشتر، تهران

۳- استادیار گروه شیمی کاربردی، دانشکده علوم، دانشگاه ملایر

(نویسنده مسئول) a.r.soleymani@malayeru.ac.ir (۰۸۵۱) ۳۳۳۹۸۴۳

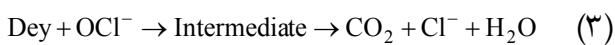
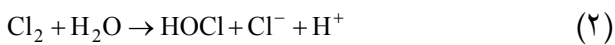
پذیرش ۹۲/۹/۲۰ (دریافت ۹۲/۹/۸)

چکیده

در این پژوهش از فرایند اکسایش الکتریکی در دو راکتور آزمایشگاهی و پایلوت برای حذف رنگ اسید قهقهه‌ای ۱۴ استفاده شد. راکتور آزمایشگاهی با حجم ۵/۰ لیتر مجهر به الکترود پلاتین به عنوان آند و الکترود استیل ۴۰ به عنوان کاتد بوده و راکتور پایلوت با حجم ۹ لیتر مجهر به الکترود استیل ۴۰ به عنوان کاتد و آند بود. در این فرایند پارامترهای انرژی مصرفی و بازده آندی برسی شدند. در راکتور آزمایشگاهی بعد از ۱۸ دقیقه از انجام فرایند حذف رنگ و COD به ترتیب برابر ۹۲ درصد و ۳۶ درصد بوده و در راکتور پایلوت بعد از ۶۰ دقیقه از انجام فرایند حذف رنگ و COD به ترتیب ۸۷ درصد و ۵۹ درصد به دست آمد. مطالعات سیتیکی بر اساس حذف رنگ و COD نشان داد که در هر دو راکتور آزمایشگاهی و پایلوت سیتیک فرایند از مرتبه صفر پیروی می‌کند.

واژه‌های کلیدی: پساب رنگی، اکسایش الکتریکی، انعقاد الکتریکی، راکتور پایلوت

اکسایش غیر مستقیم برای حذف آلاینده‌ها در محیط، انجام می‌شود [۶]. در اکسایش مستقیم آندی آلاینده‌های آلی ابتدا در سطح آند جذب شده و سپس توسط فرایندهای انتقال الکترون تخریب می‌شوند. در روش اکسایش غیر مستقیم ابتدا در سطح الکترود اکسیدهای فعال و قوی از قبیل O_3 , O^{\bullet} , OH^{\bullet} , H_2O_2 , $ClOH^{\bullet}$, ClO_2 و Cl_2 تشکیل می‌شوند. رادیکال‌های OH^{\bullet} , O^{\bullet} , $ClOH^{\bullet}$, ClO_2 , Cl_2 و O_3 عمر کوتاهی دارند و به اکسیدان‌های دیگر مانند O_2 , H_2O_2 , O_3 , ClO_2 , Cl_2 و ClO_2 تبدیل می‌شوند [۷ و ۸]. با اضافه شدن نمک‌های سدیم و پتاسیم کلراید به پساب در طی فرایند اکسیداسیون آندی، کلر تولید می‌شود. کلر آزاد شده در طی واکنش با آب اسید هیپوکلر و تولید می‌کند که در اثر تفکیک اسید، OCl^- تولید می‌شود. OCl^- نقش مهمی در اکسیداسیون الکتروشیمیایی مواد آلی و رنگ‌ها دارد. واکنش‌های کلی فرایند اکسایش الکتروشیمیایی در روابط ۱ تا ۳ ارائه شده است [۹].



۱- مقدمه
در فرایندهای تصفیه الکتروشیمیایی با استفاده از جریان الکتریکی عوامل فعال برای تصفیه در محیط تولید می‌شود. این عوامل در فرایندهای مختلف متفاوت است و می‌تواند شامل ترکیبات اکسیدهای الکتریکی^۱ (EO) یا هیدروکسیدهای فلزی در انعقاد الکتریکی^۲ (EC) وغیره باشد. در این فرایندها عوامل مختلفی تأثیر دارند که مهم‌ترین آنها جنس و ساختمان الکترود، pH، الکتروولیت، دما، پتانسیل الکترود و نوع آلدگی است که توسط محققان مورد بررسی قرار گرفته است [۱ و ۲]. از فرایند اکسایش الکتریکی برای حذف پساب شهری، روغن زیتون و رنگ‌های نساجی استفاده شده است [۳، ۴ و ۵]. رنگ‌های نساجی عمدهاً سمی بوده و حذف آنها با روش‌های بیولوژیکی مشکل است.

اساس فرایندهای الکتروشیمیایی بر پایه دو واکنش مهم اکسایش و کاهش استوار است. آند جایگاه فرایند اکسایش در طی واکنش‌های الکتروشیمیایی محسوب می‌شود. اکسایش الکتروشیمیایی توسط دو مکانیسم اکسایش مستقیم آندی و

¹ Electrooxidation

² Electrocoagulation

۲- مواد و روش‌ها

برای انجام آزمایش‌ها، با استفاده از آب مقطر محلولی با غلظت ۵۰ میلی‌گرم در لیتر از رنگ AB14 ساخته شد و سپس به داخل راکتور منتقل شد. پس از اضافه کردن الکتروولیت (NaCl)، اتصالات الکترودها به منبع تغذیه وصل شده و در زمان‌های مختلف از محلول نمونه برداری شد. سپس طیف جذبی نمونه‌ها با استفاده از دستگاه اسپکتروفوتومتر UV-vis lambda 45 ساخت پرکین الم^۱ آمریکا بررسی شده و در طول موج بیشینه ۴۶۱ نانومتر با استفاده از نمودار کالیبراسیون مقدار غلظت نمونه‌ها محاسبه شد. همچنین برای اندازه‌گیری pH محلول‌ها از pH متر جنوی^۲ ساخت کشور انگلستان مدل ۳۰۱۰ استفاده شد. برای اندازه‌گیری مقدار مواد آلی، از آزمایش استاندارد COD استفاده شد^[۱۳]. قابل ذکر است که همه مواد شیمیایی مورد استفاده از شرکت مرک^۳ آلمان خریداری شدند. در فرایندهای تصفیه آب و قسی هدف حذف رنگ^۴ باشد دو پارامتر رنگبری^۵ و معدنی شدن^۶ مطرح است. با شکسته شدن گروه‌های آزو در رنگ‌های آزو رنگبری انجام می‌شود، اما دلیل بر این نیست که مواد آلی از بین رفته باشد. معدنی شدن شامل تجزیه ترکیبات آلی و تبدیل آن به CO₂ است که با اندازه‌گیری COD مشخص می‌شود. در این تحقیق بازده حذف رنگ و COD با استفاده از رابطه زیر محاسبه شد

$$X_{CR} = \frac{C_0 - C_t}{C_0} \quad (7)$$

که در این رابطه

بازده رنگبری، C_t و C₀ مقدار غلظت رنگ به ترتیب در زمان شروع فرایند و در زمان t از فرایند بوده و برای بازده معدنی شدن C_t و C₀ و مقدار COD به ترتیب در زمان شروع فرایند و در زمان t از آزمایش است.

در فرایندهای الکتروشیمیایی انرژی مصرفی^۷ از پارامترهای مهم است که با استفاده از رابطه زیر محاسبه می‌شود

$$Econ = \frac{Vit}{X} \quad (8)$$

که در این رابطه

در فرایند اکسایش الکتریکی جنس آند به گونه‌ای انتخاب می‌شود که مقاوم بوده و در اثر عبور جریان الکتریکی خورده نشود. به عنوان مثال در این فرایند از الکترودهای پلاتین، گرافیت و اکسید برخی فلزات مانند تیتانیم و ایریدیم استفاده شده است [۶ و ۱۰]. برای صنعتی تر بودن فرایند اکسایش در راکتورهای پایلوت و صنعتی باید از الکترودهای ارزان قیمت تری مانند استیل استفاده شود. چنین الکترودهایی علاوه بر انجام فرایند اکسایش الکتریکی تا حدودی خورده می‌شوند که اگر از استیل استفاده شود فرایند انعقاد الکتریکی نیز به طور همزمان با فرایند اکسایش الکتریکی انجام می‌شود. به طور کلی فرایند انعقاد به صورت شیمیایی و الکتروشیمیایی انجام می‌شود [۱۱]. در این فرایند با استفاده از مواد منعقد کننده که هسته اولیه لخته‌ها را تشکیل می‌دهند و جاذب هستند، آلوگی به صورت لخته از محیط جدا می‌شود [۱۲]. الکترودهای مورد استفاده در این فرایند عمدها از جنس آهن و آلومینیوم هستند [۱۱]. در فرایند انعقاد الکتریکی با عبور جریان Mⁿ⁺ الکتریکی از محلول مورد نظر الکترود آند خورده شده و یون Mⁿ⁺ فلزی تولید شده و وارد محیط می‌شود. یون فلزی تولید شده سریعاً هیدرولیز شده و هیدروکسید فلزیⁿ M(OH)_n را تولید می‌کند که هسته اولیه لخته‌ها را تشکیل می‌دهد. در حالت کلی واکنش‌های انعقاد الکتریکی به صورت روابط ۴ تا ۶ است



در این تحقیق تصفیه پساب رنگی اسید قهوه‌ای^{۱۴} به عنوان نمونه‌ای از آلاینده‌های رنگی با استفاده از فرایند اکسایش الکتریکی در یک راکتور آزمایشگاهی انجام شد. برای بررسی قابلیت صنعتی شدن، فرایند اکسایش الکتریکی در یک راکتور پایلوت مورد بررسی قرار گرفت و به دلیل اقتصادی بودن فرایند که یکی از معیارهای مهم صنعتی است به جای الکترودهای مقاوم و گران قیمت مانند پلاتین از الکترود نسبتاً مقاوم و ارزان قیمت استیل ۳۰۴ استفاده شد. با این کار فرایند انعقاد الکتریکی نیز همزمان با اکسایش الکتریکی در راکتور پایلوت انجام می‌شود که این امر باعث بهبود حذف رنگ و COD در مقایسه با راکتور آزمایشگاهی می‌شود. پارامترهای مهم الکتروشیمیایی مانند بازده آندی و انرژی مصرفی در این فرایندها بررسی شده و همچنین سینتیک این فرایندها نیز مورد بررسی قرار گرفت.

¹ Perkin Elmer

² JENWAY

³ Merck

⁴ Color Removal (CR)

⁵ Decolorization

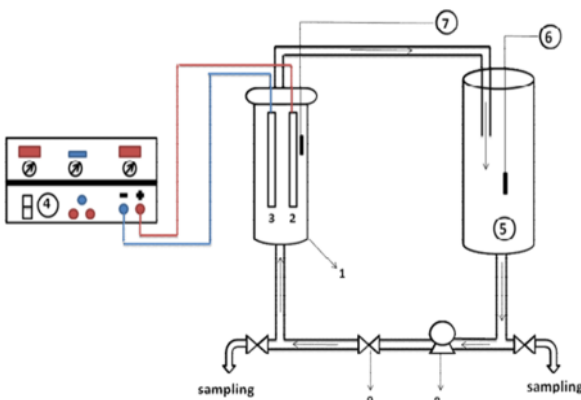
⁶ Mineralization

⁷ Energy Consumption

۲-۳- راکتور پایلوت

این سیستم دارای حجم ۹ لیتر بود و در آن به دلیل اهمیت مسائل اقتصادی از دو الکترود کاتد و آند از جنس استیل ۳۰۴ استفاده شد که هر کدام به ابعاد $3\text{cm} \times 23\text{cm}$ بودند و الکترودها به فاصله ۳ سانتی‌متر از هم قرار گرفتند. در این راکتور از پمپ یک طرفه با مدل (15G-10CL) ساخت چین برای همزدن محلول استفاده شد.

شکل ۲ طرح این سیستم را نشان می‌دهد.



شکل ۲- راکتور پایلوت: ۱- راکتور الکتروشیمیایی ۲- آند آلومینیومی ۳- کاتد استیل ۴- منبع تغذیه ۵- مخزن pH ۶- دماسنجه ۷- پمپ جریان مستقیم ۸- شیر

۴- نتایج و بحث

۴- روش اندازه‌گیری غلظت نمونه‌های حاوی AB14

در این پژوهش برای اندازه‌گیری غلظت AB14 موجود در محلول، از مشخصات جذبی این ماده در ناحیه فرابینش و موئی استفاده شد. شکل ۳ طیف جذبی AB14 در ناحیه موئی و ماوراء بتنش را نشان می‌دهد. این رنگ دو پیک مشخص در طول موج‌های ۴۶۱ و ۲۱۳ نانومتر دارد. پیک ۴۶۱ نانومتر به دلیل انتقالات $n-\pi^*$ در گروههای آزو- $N=N-$ و پیک ۲۱۳ نانومتر به دلیل انتقالات $\pi^*-\pi^*$ در حلقه‌های آروماتیک است [۱۵]. به منظور برقراری ارتباط بین غلظت و جذب اندازه‌گیری شده، از نمودار کالیبراسیون در pH های مختلف استفاده شد. AB14 در محیط آبی در تمامی pH ها محلول است و در pH های مختلف دارای λ_{\max} های تقریباً مشابه است.

۴- فرایند اکسایش پیشرفته در راکتور آزمایشگاهی

بر اساس پژوهش‌های پیشین، آزمایشی در راکتور آزمایشگاهی مذکور انجام شد و کاهش رنگ و COD در این شرایط بررسی شد [۱۱].

انرژی مصرفی بر حسب وات، V ولتاژ سل در فرایند الکترولیز بر حسب ولت، t زمان الکترولیز بر حسب ساعت، ΔS شدت جریان بر حسب آمپر و X میزان حذف رنگ است. در این پروژه $X=0/9$ به عنوان حذف مطلوب در نظر گرفته شد.

یکی از پارامترهای دیگری که در فرایند اکسایش الکتروشیمیایی اهمیت دارد، بازده آندی (AE)^۱ است که کارایی الکترود آند را در هین فرایند اکسایش نشان می‌دهد که توسط رابطه زیر محاسبه می‌شود [۱۴]

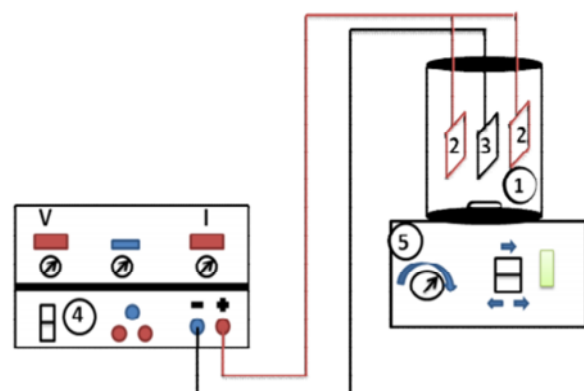
$$AE = \frac{\Delta COD}{i \times S \times \Delta t} \times 10^{-6} \quad (9)$$

که در این رابطه AE بازده آندی بر حسب $\Delta COD, \text{kg}(\text{COD}_r/\text{A.m}^2.\text{h})$ اختلاف COD_r بر حسب O_2/L ، i شدت جریان بر حسب آمپر، S مساحت سطح آند بر حسب مترمربع و Δt زمان بر حسب ساعت است [۱].

۳- راکتور

۳-۱- راکتور آزمایشگاهی

در این پژوهش از یک راکتور با حجم ۵ لیتر مجهز به دو الکترود استیل ۳۰۴، هر کدام به ابعاد $8\text{cm} \times 2\text{cm}$ به عنوان کاتد و یک الکترود پلاتین به ابعاد $2\text{cm} \times 2\text{cm}$ ساخت شرکت آذر الکترود ارومیه به عنوان آند استفاده شد. الکترود آند در وسط و کاتدها با فاصله ۲ سانتی‌متر در دو طرف آند قرار گرفتند. همچنین از همزن مغناطیسی برای همزدن محلول استفاده شد. شکل ۱ نمایی از این سیستم را نشان می‌دهد.



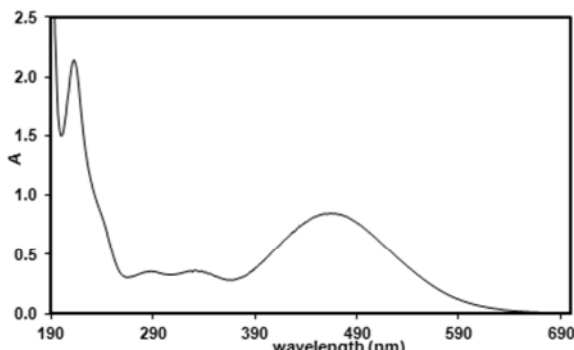
شکل ۱- راکتور آزمایشگاهی: ۱- سل الکتروشیمیایی ۲- کاتدهای استیل ۳- آند پلاتین ۴- منبع تغذیه ۵- همزن مغناطیسی

¹ Anode Efficiency (AE)

این شکل نشان می‌دهد که نتایج کاهش رنگ با COD یکسان نبوده و حذف COD کمتر انجام شده است، در نتیجه فرایند اکسایش الکتریکی در شرایط این آزمایش برای رنگبری مناسب است ولی برای کاهش COD پاسخ مناسبی نمی‌دهد. برای حذف کامل حد واسطه‌های تولید شده و کاهش COD نیز باید مدت زمان انجام فرایند بیشتر شود و همچنین جریان مصرفی نیز افزایش یابد.

۴-۳-محاسبه بازده آندی و انرژی مصرفی

کارایی آند مورد استفاده که در راکتور آزمایشگاهی از جنس پلاستین است با پارامتر بازده آندی بر اساس رابطه $9 = \frac{V}{\text{ COD}} \cdot \frac{10^3}{I}$ بررسی شد. در این پارامتر مقدار حذف COD به ازای واحد سطح الکترود در واحد زمان و واحد جریان بررسی می‌شود. نتایج نشان داد که الکترود پلاستین مورد استفاده در شرایط این پژوهش قادر است به ازای واحد جریان، زمان و سطح الکترود، حدود 83 mg/L را حذف نماید. در فرایند اکسایش الکتریکی نیز مانند دیگر فرایندهای الکتروشیمیایی پارامتر انرژی مصرفی مطرح است، که از پارامترهای مهم صنعتی می‌باشد. این پارامتر بر اساس رابطه $8 = \frac{V}{\text{ COD}} \cdot \frac{10^3}{I} \cdot \frac{10^3}{E}$ محاسبه شد. انرژی الکتریکی مصرف شده بعد از ۱۸ دقیقه از فرایند برابر 118 W وات ساعت بود. اگر تعریفه برق در بخش صنعت معادل 400 Rial به ازای هر کیلو وات ساعت باشد، هزینه انرژی الکتریکی مصرف شده برای فرایند اکسایش معادل 0.94 Rial به ازای یک لیتر از پساب مد نظر با غلظت اولیه 50 mg/L در لیتر



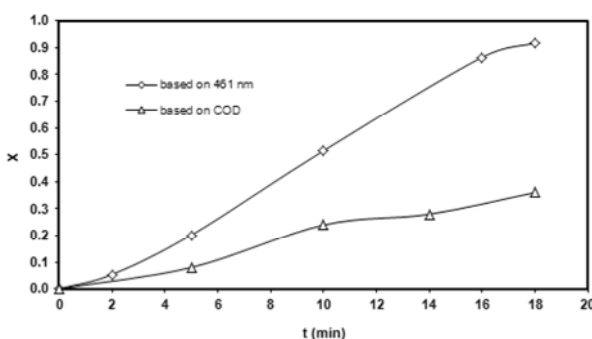
شکل ۳- طیف UV-vis رنگ AB14 در $\text{pH}=6/4$

همان‌طور که اشاره شد از طیف UV-vis برای بررسی کاهش غلظت رنگ در طول موج 461 nm استفاده شد. در بخش‌های قبلی به این نکته اشاره شد که کاهش در این طول موج بیانگر کاهش رنگ است و نه کاهش مواد آلی. شکل ۴ طیف UV-vis مربوط به فرایند اکسایش الکتریکی را نشان می‌دهد. با توجه به این شکل، کاهش طیف با زمان در طول موج 461 nm نانومتر روند مناسبی دارد، اما این کاهش در طول موج 213 nm نانومتر که مربوط به حلقه‌های بنزنی است با کاهش در طول موج 461 nm همانگ نبوده و کمتر است. این موضوع به این دلیل است که رنگبری بیشتر از کاهش COD رخ داده است زیرا حلقه‌های بنزنی سخت اکسید می‌شوند. برای بررسی دقیق‌تر، آزمایش COD انجام شد که نتایج بازده COD به همراه بازده کاهش رنگ در شکل ۵ ارائه شده است.

جدول ۱- مقدار پارامترهای مهم در راکتور آزمایشگاهی در شرایط:

$$\text{pH}_{\text{initial}}=6/4, \text{ Voltage}=4 \text{ V}, [\text{NaCl}]_0=5 \text{ gL}^{-1}, [\text{AB14}]_0=50 \text{ mg/L}$$

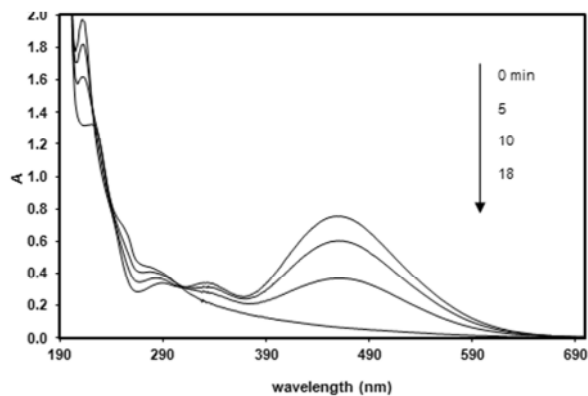
t_{EO} (min)	i (mA)	X_{CR}	X_{COD}	Econ(Wh)	Cost (Rial/L)	AE (kgCODr/A.m ² .h)
۱۸	۹۰	۰/۹۲	۰/۳۶	۰/۱۱۸	۰/۰۹۴	۰/۸۳



شکل ۵- نمودار بررسی حذف رنگ AB14 در فرایند اکسایش

الکتریکی در شرایط:

$$\text{pH}_{\text{initial}}=6/4, [\text{NaCl}]_0=5 \text{ mg/L}, i=90 \text{ mA}, [\text{AB14}]=50 \text{ mg/L}$$

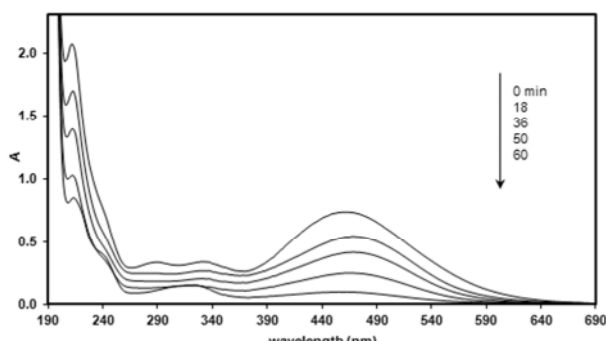


شکل ۴- نمودار UV-vis کاهش رنگ AB14 در شرایط:

$$\text{pH}_{\text{initial}}=6/4, [\text{NaCl}]_0=5 \text{ mg/L}, i=90 \text{ mA}, [\text{AB14}]=50 \text{ mg/L}$$

مثبت افزایش سینتیک فرایند را دارد اما اثر منفی تبدیل HOCl به OCl^- نیز با آن مقابله می‌کند [۱۷].

۴-۵- فرایند اکسایش الکتریکی در راکتور پایلوت
به منظور بررسی جنبه‌های کاربردی فرایند اکسایش الکتریکی بر اساس نتایج به دست آمده از راکتور آزمایشگاهی، آزمایشی در راکتور پایلوت انجام شد. در راکتور پایلوت مورد استفاده در این قسمت برای اقتصادی بودن روش، از الکترودهای ارزان قیمت و قابل دسترس و نسبتاً پایدار استیل ضد زنگ ۳۰۴ استفاده شد. در شرایط آزمایش، الکترود آند استیلی خورده شده و دو فرایند الکتروشیمیایی مهم، انعقاد و اکسایش به طور همزمان رخ می‌دهد. در این مورد نیز ابتدا نمونه‌ها با دستگاه UV-vis بررسی شد که شکل ۷ طیف حاصل از آن را نشان می‌دهد. در این شکل مشاهده می‌شود که بعد از گذشت زمان ۶۰ دقیقه، هر دو پیک ۴۶۱ و ۲۱۳ نانومتر کاهش یافته است. این روند در راکتور آزمایشگاهی اکسایش الکتریکی مشاهده شد.



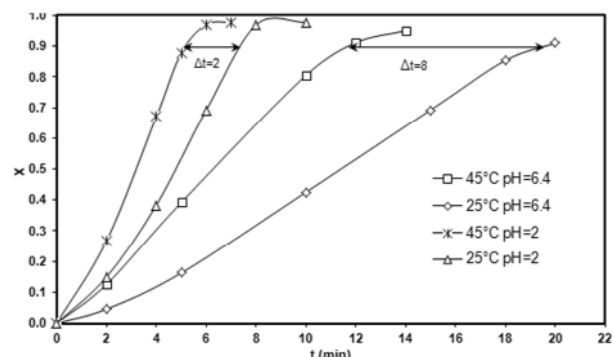
شکل ۷- نمودار UV-vis کاهش رنگ AB14 در راکتور پایلوت اکسایش الکتریکی در شرایط: $\text{pH}_{\text{initial}}=6/4$, $[\text{NaCl}]_0=5\text{mg/L}$, $i=650\text{mA}$, $[\text{AB14}]=50\text{mg/L}$

در فرایند انعقاد همان‌طور که در بخش مقدمه بیان شد، هیدروکسید آهن به عنوان هسته اولیه، رنگ را جذب سطحی کرده و بدون شکستن از محیط جدا می‌کند. بنابراین کاهش COD بیشتر از راکتور پایلوت باشد. پس می‌توان نتیجه گرفت که فرایند انعقاد در حذف آلودگی در این راکتور، کمک زیادی می‌کند.

در ادامه بررسی فرایند COD تمونه‌های راکتور پایلوت بررسی شد که نتایج آن به همراه بازده حذف رنگ در شکل ۸ ارائه شده است. با توجه به این شکل مشاهده می‌شود که بعد از گذشت ۶۰ دقیقه از انجام فرایند، مقدار حذف رنگ برابر ۸۷ درصد و مقدار حذف COD برابر ۵۹ درصد است که این مقادیر با مصرف ۲/۹۸ وات انرژی الکتریکی به دست آمده است. در راکتور پایلوت، حذف

خواهد بود. البته این هزینه فقط شامل انرژی الکتریکی مصرف شده صرفاً برای خود فرایند اکسایش است و با توجه به نوع طراحی راکتور صنعتی و شرایط عملیاتی، هزینه‌های دیگری نیز به آن اضافه می‌شود. جدول ۱ نتایج این محاسبات را برای فرایند اکسایش الکتریکی در راکتور آزمایشگاهی نشان می‌دهد.

۴-۶- اثر دما در فرایند اکسایش الکتریکی
برای بررسی اثر دما، فرایند اکسایش الکتریکی در دو $\text{pH}=2/4$ و $6/4$ مورد بررسی قرار گرفت زیرا در این دو pH ، نوع اکسنده متفاوت است. برای بررسی این موضوع با استفاده از حمام آب که برای گرم کردن آن از هیتر و برای سرد کردن از یخ استفاده می‌شود و دما با استفاده از دماسنج جیوه‌ای کنترل می‌شود، آزمایش‌هایی در دو دمای ۲۵ و ۴۵ درجه سلسیوس انجام شد که نتایج مربوطه در شکل ۶ ارائه شده است.



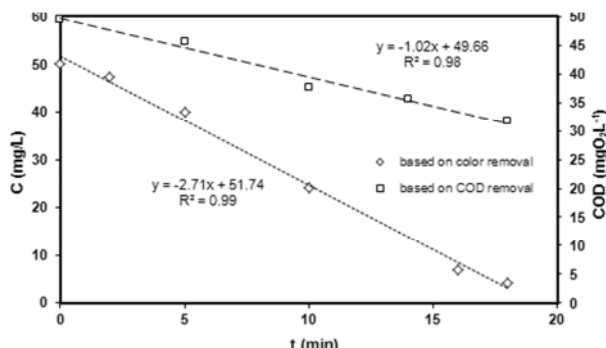
شکل ۶- نمودار بررسی اثر دما در فرایند اکسایش الکتریکی در شرایط: $\text{pH}_{\text{initial}}=6/4$, $[\text{NaCl}]_0=5\text{mg/L}$, $i=90\text{mA}$, $[\text{AB14}]=50\text{mg/L}$

نتایج نشان می‌دهد که در $\text{pH}=2$ فرایند بهتر انجام شده که علت آن این است که در حضور NaCl به عنوان الکتروولیت در اکسایش غیر مستقیم OCl^- نقش اصلی اکسایش را بر عهده دارد. در $\text{pH}=6.4$ اسیدی OCl^- به صورت اسید هیپوکلرو HOCl است، HOCl اکسنده قوی‌تری نسبت به OCl^- دارد. در $\text{pH}=6/4$ اسیدی OCl^- به عنوان الکتروولیت در فرایند اکسایش بهتر رخ داده است [۱۶]. شکل ۶ نشان می‌دهد که در هر دو pH با افزایش دما، بازده فرایند افزایش یافته است که به دلیل افزایش سینتیک فرایند است. اما در $\text{pH}=2$ ، افزایش دما از ۲۵ به ۴۵ درجه سلسیوس زمان رسیدن به بازده مطلوب را ۲۵ دقیقه کاهش داد، در حالی که در $\text{pH}=6/4$ با افزایش دما از ۲۵ به ۴۵ درجه سلسیوس، این زمان ۸ دقیقه کاهش یافت. یعنی افزایش دما در $\text{pH}=6/4$ اثر کمتری بر افزایش بازده نسبت به $\text{pH}=2$ دارد. این موضوع به این دلیل است که در $\text{pH}=2$ اکسنده HOCl است که با افزایش دما به OCl^- تبدیل می‌شود که اکسنده ضعیف‌تری است. در واقع در $\text{pH}=2$ افزایش دما اثر

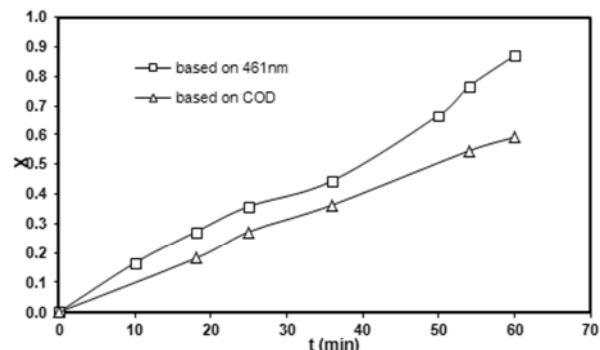
حتی اگر کل جریان مصرفی برای خورده شدن الکترود مصرف شود با توجه به این که مقدار جریان ۶۵۰ میلی آمپر و زمان فرایند ۱ ساعت است، حدود ۱۵٪ گرم از الکترود، خورده می‌شود که مقدار آن بسیار کم است. بنابراین الکترود مدت زمان زیادی قابل استفاده است.

۴- سینتیک فرایند اکسایش الکتریکی

سینتیک این فرایند بر اساس کاهش رنگ و COD در راکتورهای آزمایشگاهی و پایلوت بررسی شد. شکل ۹ بررسی سینتیک در راکتور آزمایشگاهی را نشان می‌دهد. همانطور که مشاهده می‌شود کاهش رنگ و COD با سینتیک مرتبه صفر متناسب است. از نقاط تجربی به دست آمده از آزمایش خطوطی با ضریب برازش $98\% / ۰$ بر اساس حذف COD و $99\% / ۰$ بر اساس حذف رنگ به دست می‌آید. نتایج مربوط به راکتور پایلوت نیز به صورت نمودار در شکل ۱۰ ارائه شده است. مشاهده می‌شود که در راکتور پایلوت نیز نتایج با سینتیک مرتبه صفر متناسب است. از نقاط تجربی خطوطی با ضریب برازش 1 بر اساس حذف COD و $99\% / ۰$ بر اساس حذف رنگ به دست آمده است. شب این خطوط برابر قرینه ثابت سرعت انجام فرایند و عرض از مبدأ برابر غلظت اولیه است که برای هر دو راکتور در جدول ۲ ارائه شده است. از آنجا که OCl^- پیوسته تولید شده و سینتیک تا حذف 90% درصد بررسی شده، کاهش غلظت رنگ و OCl^- محسوس نبوده و سینتیک مرتبه صفر است.



شکل ۹- نمودار بررسی سینتیک فرایند اکسایش الکتریکی در راکتور آزمایشگاهی بر اساس کاهش رنگ و COD در شرایط: $\text{pH}_{\text{initial}}=6/4$, $[\text{NaCl}]_0=5\text{ mg/L}$, $i=90\text{ mA}$, $[\text{AB14}]=50\text{ mg/L}$



شکل ۸- نمودار بررسی حذف رنگ و COD در راکتور پایلوت فرایند اکسایش الکتریکی در شرایط:

$$\text{pH}_{\text{initial}}=6/4, [\text{NaCl}]_0=5\text{ mg/L}, i=650\text{ mA}, [\text{AB14}]=50\text{ mg/L}$$

رنگ نسبت به حذف COD بیشتر رخ داده است که به علت انجام فرایند اکسایش الکتریکی است زیرا مقداری از رنگ شکسته شده و تبدیل به حد واسطه‌ای شده است که هنوز در محیط هستند و این حد واسطه‌ها در آزمایش COD اثر می‌گذارند. در مقایسه فرایند اکسایش الکتریکی در راکتور آزمایشگاهی و پایلوت مشاهده می‌شود که حذف COD در راکتور پایلوت حدود ۲۳ درصد بیشتر است زیرا همان‌طور که گفته شد در راکتور پایلوت، انعقاد نیز به همراه اکسایش انجام می‌شود که در فرایند انعقاد رنگ بدون COD شکستن از محیط خارج می‌شود و این امر باعث کاهش COD می‌شود. در خصوص کارایی الکترود آند در این راکتور نیز لازم به ذکر است که به دلیل انجام فرایند انعقاد الکتریکی، الکترود خورده می‌شود که مقدار کاهش وزن آن بر اساس قانون فارادی از رابطه زیر قابل محاسبه است

$$\Delta M_{\text{theo}} = \frac{M_i t}{n F} \quad (10)$$

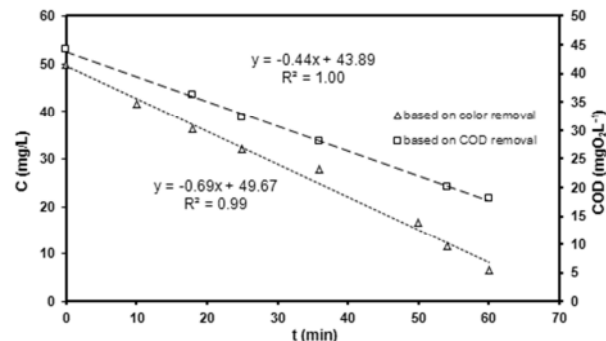
که در این رابطه

ΔM_{theo} مقدار کاتیون فلز تولید شده بر حسب گرم، M جرم اتمی فلز بر حسب گرم بر مول و n شدت جریان بر حسب آمپر، t زمان انجام فرایند بر حسب ساعت و n تعداد الکترون مبادله شده در واکنش روکس است (برای تولید آهن ۲ و آهن ۳). F ثابت فارادی است که برابر ۹۶۴۸۷ C/mol است. در مورد این تحقیق

جدول ۲- نتایج مربوط به ثابت سرعت فرایند اکسایش الکتریکی در راکتورهای آزمایشگاهی و پایلوت

پارامتر	راکتور			راکتور		
	آزمایشگاهی	پایلوت	حذف رنگ	آزمایشگاهی	پایلوت	حذف COD
k	$0.69 (\text{mg L}^{-1} \text{min}^{-1})$	$49/67$	$2/71 (\text{mg L}^{-1} \text{min}^{-1})$	$51/74$	0.99	0.99
[A] ₀ mg/L	$43/89$	1	$1/02 (\text{mg O}_2 \text{L}^{-1} \text{min}^{-1})$	$49/66$	0.98	0.98

KCl یا NaCl. فرایند اکسایش الکتریکی به عنوان یکی از روش‌های پیشرفته تصفیه برای رنگبری و از بین بردن مواد آلی بدون ترکیبات بنزنی پایدار، مناسب است، زیرا اکسایش حلقه‌های بنزنی مشکل است، طوری که نتیجه حذف رنگ در این پژوهش برابر ۹۲ درصد و حذف COD برابر ۳۶ درصد بود. نتایج نشان داد که در این فرایند pH پایین نتیجه بهتری دارد اما در pH تقریباً خشی نیز نتایج مناسب است. بهتر است برای کاهش هزینه و جلوگیری از خوردگی، فرایند در pH خشی انجام شود. در فرایند اکسایش الکتریکی، افزایش دما اثر مثبت بر روی فرایند داشته و این اثر در pH طبیعی رنگ بیشتر از pHهای پایین است. در فرایند اکسایش الکتریکی در سیستم پایلوت، به دلیل کاهش هزینه بالای الکترود آند، می‌توان آند را از جنس استیل انتخاب کرد اما باید توجه داشت که فرایند انعقاد الکتریکی به همراه اکسایش الکتریکی انجام شده و فرایند غالباً باشد. نتایج بررسی سینتیک نشان داد که سینتیک فرایند اکسایش الکتریکی تا زمان رسیدن به حذف ۹۰ درصد در هر دو راکتور آزمایشگاهی و پایلوت از مرتبه صفر پیروی می‌کند.



شکل ۱۰- نمودار بررسی سینتیک فرایند اکسایش الکتریکی در راکتور پایلوت بر اساس کاهش رنگ و COD در شرایط: $pH_{initial}=6/4$, $[NaCl]_0=50\text{ mg/L}$, $i=50\text{ mA}$, $[AB14]=50\text{ mg/L}$

۵- نتیجه‌گیری

در فرایند اکسایش الکتریکی، آلاند آلی توسط اکسنده ^{+}OCl اکسید شده و به CO_2 تبدیل می‌شود. در این فرایند الکتروولیت علاوه بر کاهش مقاومت محیط در تولید ^{+}OCl نیز نقش دارد پس باید از الکتروولیتی استفاده شود که یون کلراید داشته باشد مانند

۶- مراجع

- Basiri Parsa, J., Rezaei, M., and Soleymani, A.R. (2009). "Electrochemical oxidation of an azo dye in aqueous media investigation of operational parameters and kinetics." *J. Hazard. Mater.*, 168, 997-1003.
- Daneshvar, N., Oladegaragoze, A., D and Jafarzadeh, N. (2006). "Decolorization of basic dye solutions by electrocoagulation: An investigation of the effect of operational parameters." *J. Hazard. Mater.*, 129, 116-122.
- Feng, C., Sugiura, N., Shimada, S., and Maekawa, T.(2003). "Development of a high performance electrochemical wastewater treatment system." *J. Hazard. Mater.*, 103, 65-78.
- Panizza, M., and Cerisola, G. (2006). "Olive mill wastewater treatment by anodic oxidation with parallel plate electrodes." *Water Res.*, 40, 1179-1184.
- Mohan, N., Balasubramanian, N., and Basha, C.A. (2007). "Electrochemical oxidation of textile wastewater and its reuse." *J. Hazard. Mater.*, 147, 644-651.
- Deng, Y., and Englehardt, J.D. (2007). "Electrochemical oxidation for landfill leachate treatment." *Waste Manage.*, 27, 380-388.
- Arapoglou, D., Vlyssides, A., Israilides, C., Zorbas, A., and Karlis, P. (2003). "Detoxification of methyl-parathion pesticide in aqueous solutions by electrochemical oxidation." *J. Hazard. Mater.*, 98, 191-199.
- Vlyssides, A.G., Papaioannou, D., Loizidou, M., Karlis, P.K., and Zorbas, A.A. (2000). "Testing an electrochemical method for treatment of textile dye wastewater." *Waste Manage.*, 20, 569-574.
- Oturanc, M.A., Peiroten, J., Chartrin, P., and Acher, A.J. (2000). "Complete destruction of p-nitrophenol in aqueous medium by electro-fenton method." *Environ. Sci. Technol.*, 34, 3474-3479.
- Manisankar, P., Rani, C., and Viswanathan, S. (2004). "Effect of halides in the electrochemical treatment of distillery effluent." *Chemosphere*, 57, 961-966.

11. Parsa, J.B., Vahidian, H.R., Soleymani, A., and Abbasi, M. (2011). "Removal of acid brown 14 in aqueous media by electrocoagulation: Optimization parameters and minimizing of energy consumption." *Desalination*, 278, 295-302.
12. Jiang, J.-Q., Graham, N., André, C., Kelsall, G.H., and Brandon, N. (2002). "Laboratory study of electro-coagulation–flotation for water treatment." *Water Res.*, 36, 4064-4078.
13. APHA. (1997). *Standard method for the examination of water and wastewater*, 17th Ed., USA.
14. Vlyssides, A., Karlis, P., Rori, N., and Zorbas, A.(2002). "Electrochemical treatment in relation to pH of domestic wastewater using Ti/Pt electrodes." *J. Hazard. Mater.*, 95, 215-226.
15. Muthukumar, M., Karuppiah, M.T., and Raju, G.B. (2007). "Electrochemical removal of CI Acid orange 10 from aqueous solutions." *Sep. Purif. Technol.*, 55, 198-205.
16. Costa, C.R., Montilla, F., Moralln, E., and Olivi, P. (2009). "Electrochemical oxidation of acid black 210 dye on the boron-doped diamond electrode in the presence of phosphate ions: Effect of current density, pH, and chloride ions." *Electrochim. Acta*, 54, 7048-7055 .
17. Morris, J.C. (1966) "The acid ionization constant of HOCl from 5 to 35." *J. Phys. Chem.*,70, 3798-3805.